

## 大気汚染に関する風洞実験(6)

## ——拡散式に対する一考察——

京都大学工学部 正員 山本剛夫 両田薰

" 学生員 佐藤誠宏

大阪市 正員 上田玄雄

## まえがき

Power plant のごとき巨大建造物からの排ガスの拡散や、拡散物質が山脈等の起伏のはげしい地形を越える場合などは、著じるい down-draught が生じて既存の拡散式ではその特性が十分説明しえないことが多くある。著者らの研究は、かような点に関する地上障害物体によって生じる乱流場を簡単なモデルで近似して、これに対して拡散公式を修正して適用する方法を提案したものである。なお、同時に風洞実験によてえられた結果との比較検討も行なった。

## 1. 拡散公式の適用法

物体後方の流れの場をFig. 1のよう近似する。そして、

(i) 領域 I は、平均風速  $\bar{U}$  と、乱れの成分  $V'_i = (U'_i, V'_i, W'_i)$  を持つ、領域 II は平均風速  $\bar{U}'$  と、乱れの成分  $V'_i' = (U'_i, V'_i, W'_i)$  を持つとする。そして、 $\bar{U}$  は

$$\bar{U}/U_i = aZ + b \quad (a, b: \text{const}) \quad \cdots \cdots (1)$$

なる ( $i = A$  が奥原であるごとく近似する)。

(ii) 断面域の境界は

$$Z \propto \sqrt{x} \quad \cdots \cdots (2)$$

なる放物線であるとし、比例定数は  $b$  がある直をとる点を結んで求めめる。

(iii) 両領域で拡散係数は一定とする。

(iv) 流線の上下移動は考慮しない。

以上のモデル化に従って拡散公式の補正および適用法を述べると次の通りとなる。

領域 I ( $O, P$  間) では wake flow の影響はないから、その濃度分布は

$$C(x, y, z) = \frac{Q}{2\pi\sigma_y\sigma_z U} \exp\left[-\frac{1}{2}\left(\frac{y^2}{\sigma_y^2} + \frac{z^2}{\sigma_z^2}\right)\right] \quad \cdots \cdots (3)$$

で与えられ、その拡散巾(標準偏差)  $\sigma_z$  は

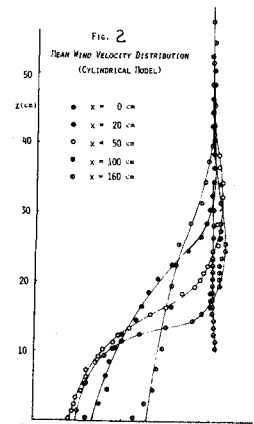
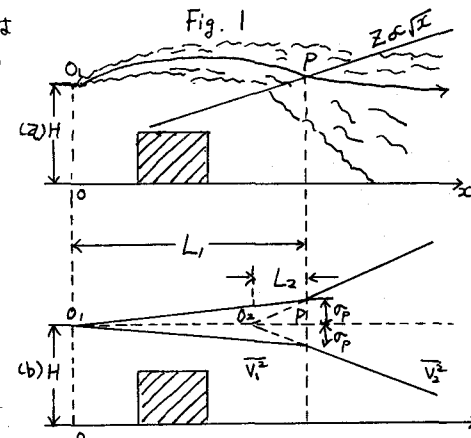
$$\sigma_z^2 = 2\bar{V}'_i \int_0^T \int_0^t R_{L,10}(\tilde{z}) d\tilde{z} dt \quad \cdots \cdots (4)$$

$$\sigma_z^2 = 2\bar{W}'_i \int_0^T \int_0^t R_{L,1w}(\tilde{z}) d\tilde{z} dt \quad \cdots \cdots (5)$$

で規定される。ここで  $R_L$  は乱流速度に関する Lagrange 相関で、各々

$$R_{L,10} = \frac{U'_i(t)U'_i(t+3)}{\bar{U}'_i^2}, \quad R_{L,1w} = \frac{W'_i(t)W'_i(t+3)}{\bar{W}'_i^2} \quad \cdots \cdots (6)$$

である。領域 II ( $P$  以降) では (1) 式が拡散公式の中に入り、従来の式



(3)は修正されて

$$C(x, y, z) = \frac{Q}{\sqrt{2} \pi^{3/2}} \int_0^{\infty} \frac{Q}{(A_1 t^3 + A_2 t)^{1/2} B C t} \exp\left(-\frac{y^2}{2Bt}\right) \exp\left[-2\left\{\frac{(x - \bar{u}_0 t)^2}{A_1 t^3 + A_2 t} - \frac{\sqrt{3}(x - \bar{u}_0 t)z}{(A_1 t^3 + A_2 t)^{1/2} C t^{1/2}}\right\}\right] dt \quad \dots \dots (7)$$

となる。ニニト  $\bar{u}_0$  は放出口の高さにありる  $\bar{u}$ 、また

$$A_1 = \left(\frac{2}{3} \frac{w_s^2}{U_s^2} t_{L,u}\right)^{1/2} \frac{d\bar{u}}{dz}, \quad A_2 = \left(2\bar{u}_0^2 t_{L,u}\right)^{1/2} \quad \dots \dots (8)$$

$B = (2U_s^2 t_{L,v})^{1/2}$   $C = (2w_s^2 t_{L,w})^{1/2}$  である。また、 $t_{L,u}$ 、 $t_{L,v}$ 、 $t_{L,w}$  は  $(U_s', U_v', w_s')$  で規定される Lagrange 相関 (16) 式を積分して得る。

$$t_{L,u} = \int_0^{\infty} R_{L,2u}(3) d\beta, \quad t_{L,v} = \int_0^{\infty} R_{L,2v}(3) d\beta, \quad t_{L,w} = \int_0^{\infty} R_{L,2w}(3) d\beta \quad \dots \dots (9)$$

で与えられる integral time scale である。

座標系は (3) 式の場合は実点源  $O_1$  を原点にしておればよく。

$$(7) \text{ 式の場合は } \overline{O_1 O_2} = L_1 \left(1 - \frac{\sqrt{V_s'^2}}{\sqrt{V_s^2}}\right) \quad \dots \dots (10)$$

で定義される虚の点源  $O_2$  を原点にとればよろしくとて発表した。<sup>2)</sup> また、(6)、(7) に含まれる Lagrange の相関  $R_L(3)$  は

$$R_L(3) = R_E(t) \quad (\text{when } \beta = \beta t) \quad \dots \dots (11)$$

に従って Euler 相関  $R_E(t)$  の測定値から求めめる ( $\beta$ : 定数)。

以上のように入力された結果を実測値と比較した。Fig. 2 は物体後方の平均風速の分布形であり、模型直後のもの ( $x = 20, 50 \text{ cm}$  のもの) を除いて直線近似としてもよろしく。Fig. 3 は Euler 相関  $R_E(t)$  の実測結果で、それの integral time scale  $t_E$  は

$$t_E = \int_0^{\infty} R_E(t) dt \approx 40 \text{ msec} \quad \dots \dots (12)$$

定数  $\beta$  は約 5 であった。また  $t_L = \beta t_E \approx 200 \text{ msec}$   $\dots \dots (13)$

## 2. 計算結果および実測との比較

Fig. 4 は (3) 式と (7) 式の分布形の差異を示している。データは Fig. 2~3 等の実測値を代入している。修正式 (7) の方が下側に濃度が高い。Fig. 5 は (3)、(7) 式による地表面濃度の差異を示している。これも Fig. 4 と同じ結果が見られる。Fig. 6 は風洞実験との比較である。Fig. 7 は散乱角と流下距離  $X$  との関係を示す。ここで直線から曲線に移る点は Fig. 1 の P を示し、ニニから  $\beta$  が急に増加することを物語る wake flow 内に入ったことを示している。

[参考文献] 1) Corrsin, S.: Adv. in Geophys., 6 (1959)

2) 庄司, 山本, 西田, 上田: 昭和 43 年度土木学会年次学術講演会概要集

